

早稲田大学理工学部 学生員 葉師寺 洋輔
 早稲田大学理工学部 正員 依田 照彦
 早稲田大学理工学部 学生員 桑野 忠生

1. まえがき

アーチ構造物の幾何学的・材料的非線形問題は、一般に複雑であるとされている。そこで本論文では、変形を面内に限定し、理論を簡略化したとしても、マイクロコンピュータでも解析できる手法を用い、構成則の折れ線近似の妥当性、初期不整の影響とカストロス理論との関連などについて論じる。

2. 解析方法

(1). 仮定

解析を簡単にするため、以下の仮定を用いる。

- i). 平面は保持される。(1次元部材と考える。)
- ii). せん断力による変形を無視する。
- iii). 除荷過程は考慮しない。
- iv). 節点間を直線梁要素とする。
- v). 単一材料とする。

(2). 解析の流れ

伝達マトリクス法的に解くことにする。未知数を軸ひずみ(ε)、曲率(φ)とし、1-1番目までφの値が求まるとすれば、1番目の未知数ε、φは図1に示す手順で求められる。

(3). 境界条件

図2に示す方法により境界条件の適用を行なう。

(4). 本解析法の長所及び短所

i). 長所

- ① 構成則を自由に選べる。
- ② 片方の境界条件を仮定し、そこから解を伝達させて解くので、容量が少なくて済み、2元の連立非線形方程式を解けばよいことになり、マイクロコンピュータでも解析できる。

ii). 短所

- ① 図1、⑦の非線形方程式を解く際に、初期値の設定が難しい。
- ② 図2のルーブのくり返し回数が多し。

3. 解析モデル及び構成則

解析モデルを国3に、構成則を国4に示す。初期不整はγで表す。

4. 結果と考察

幾何学的非線形性については、国5に示す通りほぼ満足されるので、ここでは各種の構成則における荷重-変位曲線を検討する。

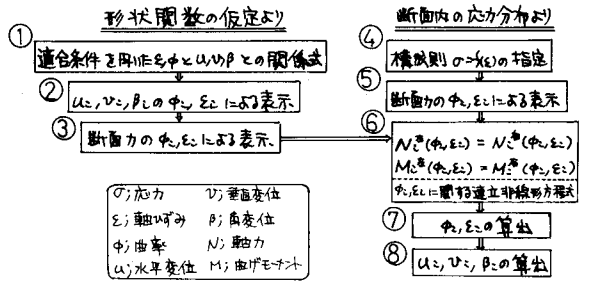


図1. ε, φの算出

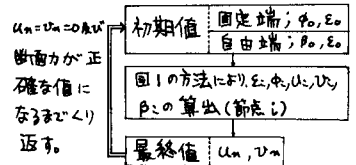


図2. 境界条件の適用(両端が移動(斜)の場合)

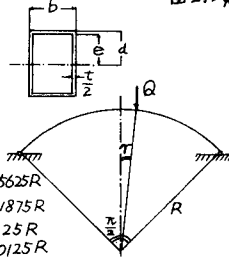


図3. 解析モデル

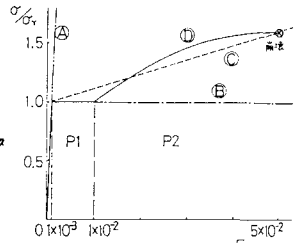


図4. 構成則

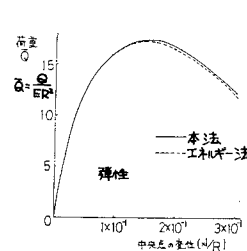


図5. 幾何学的非線形性の検証(γ=0.042, 材料モデルのみ)

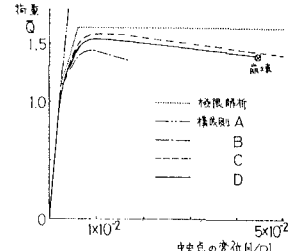


図6. 各種構成則における荷重-変位関係図(γ=0.042)

(1). 構成則の折れ線近似について (構成則②と③との比較)

初期不整のない場合には、図6に示す関係が得られる。又図4を参照すると、構成則②は構成則③の頂点と一致するように直線の傾きが決まらされており、ひずみの小さい所(P1)では構成則③の応力が大きく、ひずみの大きい所(P2)では逆の関係にあることがわかる。構造物の崩壊過程では、塑性域が一点に集中することはなく、塑性レンジのあたりには塑性域が広がっている。従って大部分の塑性ひずみ状態は図4におい、領域P2よりも、領域P1にあることが予想され、構成則③のような折れ線近似を行うと、危険個所になってしまうことがある。図6ではこの傾向が顕著に表われている。

(2). 極限解析法と構成則③を用いた場合との比較

極限解析法による荷重-変位曲線は同じ構成則を用いた場合(構成則③)とかなり異なっている。これは、極限解析法が次の前提に基づいているためと考えられる。

- ① 軸力の影響を無視している。(本解析の場合)
- ② 塑性域を一点に集中させて考えている。
- ③ 線形解析を用いている。

本解析では、変形が比較的小さい、材料的非線形性が、幾何学的非線形性より卓越するため、②の影響が最大大きいと考えられる。このため実際よりも剛性が強くなって荷重-変位曲線は構成則③の曲線よりも上になり、構成則③の曲線に近づいていくと考えられる。

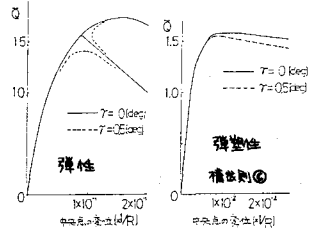


図7. 初期不整敏感性

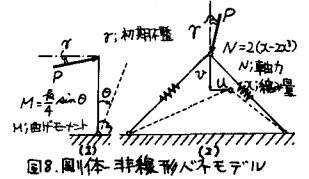


図8. 剛体・非線形バネモデル

5. 初期不整敏感性とカストロスー

(1). 弾性・弾塑性解析における初期不整の敏感性

図7を参照すると弾性解析の場合の座屈点は分岐(bifurcation point)、弾塑性解析の場合は屈服(limit point)となっている。一般に分岐は屈服に比べて初期不整の影響が大きいとされているが、本解析でもその特徴が表われている。

(2). 剛体・非線形バネモデルとカストロスー

i). 1自由度モデル: 図8-(1)の1自由度モデルのポテンシャルエネルギー- Π は、初期不整のない場合($\gamma=0$)

$$\Pi = -\frac{1}{2}k\delta^2 - (P - \frac{16}{\pi})\delta + O(\delta^3) \quad (\delta = \delta - \frac{16}{\pi}; \text{座屈点における}\delta)$$

で表わされ、これはカストロスー理論により、折れ目のカストロスー($\Pi = a\delta^2 - (P - \frac{16}{\pi})\delta$)に変換される。初期不整のある場合でも、同様な手順により、

$$\Pi = -0.816\delta^2 - (P - 0.263k)\delta + O(\delta^3) \quad (\text{ただし } \gamma = 5[\text{deg}], \delta = \delta - 0.321)$$

となる。初期不整の有無によりポテンシャルエネルギーの形が変わらないうことは、初期不整は座標変換により吸収され、系の現象に定性的な差異を生じさせないことを示している。一方くさびのカストロスー($\Pi = a\delta^2 + b\delta$; δ : 変位, a : 荷重, b : 初期不整)は式中に初期不整を表わす係数が入っていることにより定性的な差異を生じさせる。(図9: Euler Buckling 参照)

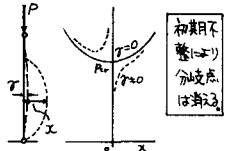


図9. くさびのカストロスー($\Pi = a\delta^2 + b\delta$)

ii). 2自由度モデル: 図8-(2)の2自由度モデルについても1自由度モデルと同様に、系のポテンシャルエネルギー- Π は、初期不整のない場合、

$$\Pi = -1.08\bar{v}^2 - (P - 0.172)\bar{v} + 1.04\bar{u}^2 + 0.0004\bar{v}^2\bar{u} + O(\delta^4) \quad (\bar{v} = v - 0.325, \bar{u} = u; (u, v) = (0, 0.333) \text{は座屈点})$$

となる。~~~~部を無視すれば、これも折れ目のカストロスーであり、 \bar{u} は座屈に関与しない変数であることもわかる。初期不整のある場合も、1自由度系の場合と同様に、同じ形になることは容易に想像される。

iii). 解析モデル(連続体)と2自由度モデル: 非保存系で、しかも連続体である解析モデル(i), ii)のようにカストロスーの基本形として、ポテンシャルエネルギーを表現することはできないが、以下の理由により、同じ現象となっていることが考えられる。

- ① 本解析では、2. (1), iii)の仮定(除荷過程は考慮(含))を用いているので、ポテンシャルの計算が可能である。
- ② 解析モデルの挙動は図8のモデル2で類推できる。

6. 結論

- (1). 本解析法は、マイクロコンピュータによるア-子の材料的、幾何学的非線形問題に対し、有効である。
- (2). 構成則の折れ線近似は危険個所にならないうに注意(しなれば)ならない。
- (3). 折れ目のカストロスーは、初期不整が座屈点付近の定性的性質を変えないことを示すが、折れ目のカストロスーは初期不整の敏感性は論じられない。